

ITG-Workshop „IP Netzplanung, IP Netzmanagement und Optimierung“  
Würzburg, 20./21. Juli 2000

# Effektive Bandbreite selbstähnlicher Verkehrsströme

Stefan Bodamer

## Gliederung

- Motivation
- Verkehrsmodell
- Approximationen für effektive Bandbreite
- Vergleichende Untersuchungen

# Motivation

---

## **effektive Bandbreite: Maß für Ressourcenbedarf eines Verkehrsstroms**

- Verbindungsannahmesteuerung (CAC)
- Entgelterhebung (Charging)
- Netzdimensionierung

## **Dimensionierung von IP-Netzen**

- Ziel: Ausnutzung des statistischen Multiplexgewinns
- grundsätzliches Problem: Adaptivität durch TCP-Flusskontrolle
  - ➔ Betrachtung eines Links, der kein Engpass für TCP-Verbindungen darstellt (z. B. im Zugangsnetz)
- Erfahrungen bei IP-Verkehr: Selbstähnlichkeit

## **verschiedene Methoden zur Approximation der effektiven Bandbreite**

- „klassische“ Methoden
- Methoden für selbstähnlichen Verkehr

## **➔ Vergleich der Methoden auf Basis eines einheitlichen Verkehrsmodells**

# Verkehrsmodell

---

## □ M/G/ $\infty$ -Burst-Modell

- Flüssigkeitsmodell: Paketebene nicht sichtbar
- Poisson-Ankunft von Bursts (Informationsmenge) mit Rate  $\lambda$
- konstante Ankunftsrate  $h$  innerhalb eines Bursts
- Burstgröße  $B$  mit Mittelwert  $b$
- mittlere Rate  $m = \lambda \cdot b$

## □ M/M-Modell

- Burstgröße  $B$  negativ-exponentiell verteilt

## □ M/Pareto-Modell

- Burstgröße  $B$  Pareto-verteilt:  $P(B \leq s) = 1 - \left(\frac{k}{s}\right)^\alpha = 1 - \left(\frac{\alpha-1}{\alpha} \cdot \frac{b}{s}\right)^\alpha, s \geq k$
- falls  $1 < \alpha \leq 2$ : endlicher Mittelwert, unendliche Varianz von  $B$
- selbstähnlicher Verkehr mit Hurst-Parameter  $H = \frac{3-\alpha}{2}$
- Selbstähnlichkeit erkennbar an Varianz des kumulierten Ankunftsprozesses  $A_t$  (ankommende Informationsmenge in Intervall der Länge  $t$ )

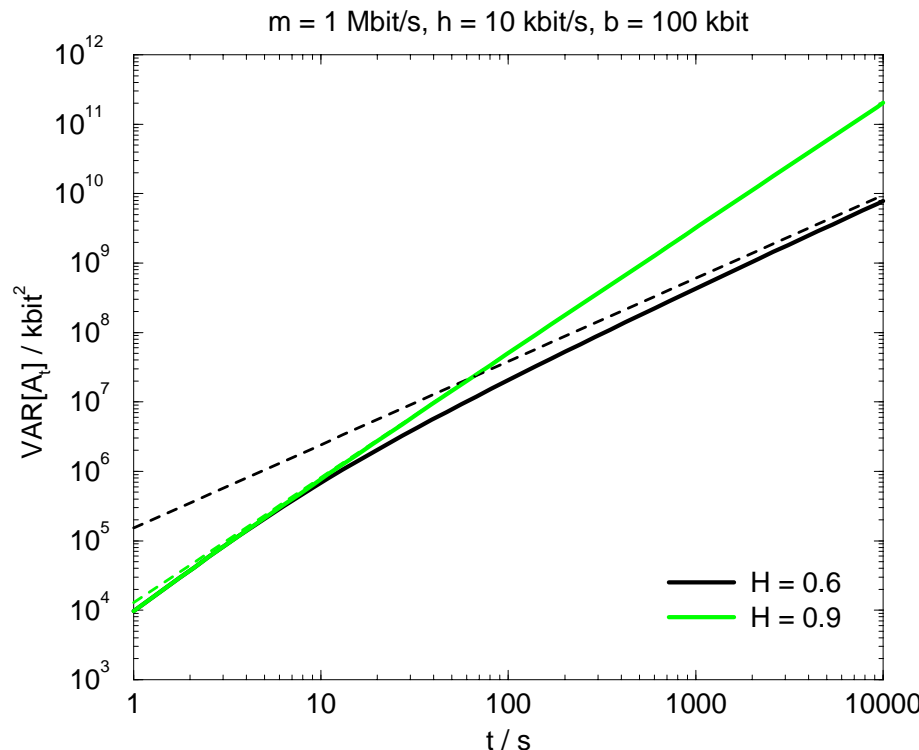
# Varianz des kumulierten Ankunftsprozesses

---

□ **M/M:**  $\text{VAR}[A_t] \rightarrow 2 \cdot m \cdot b \cdot t$  für  $t \rightarrow \infty$

$$h^{2H-1} \cdot \left( \frac{2-2H}{3-2H} \cdot b \right)^{2-2H}$$

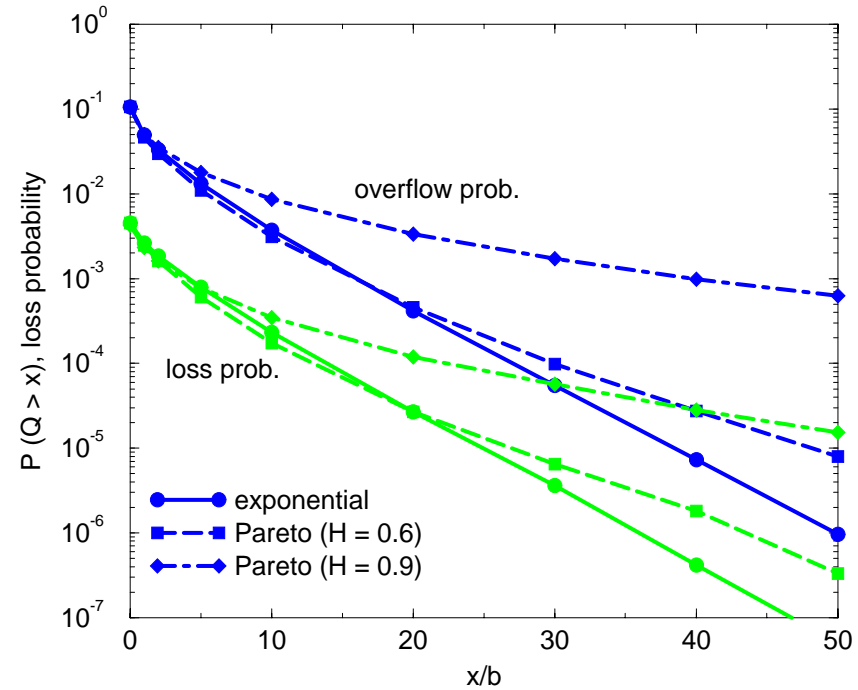
□ **M/Pareto:**  $\text{VAR}[A_t] \rightarrow m \cdot \frac{h^{2H-1} \cdot \left( \frac{2-2H}{3-2H} \cdot b \right)^{2-2H}}{(3-2H) \cdot (2H-1) \cdot H} \cdot t^{2H}$  für  $t \rightarrow \infty$



# Effektive Bandbreite

---

- Bezug auf Bediensystem mit
  - FIFO-Abfertigung
  - (variabler) Bedienrate  $C$
  - unendlichem Puffer
  - M/Pareto- oder M/M-Ankunft
- QoS-Anforderung:  
**Überschreitungswahrscheinlichkeit für Warteschlangenlänge  $Q$**
- effektive Bandbreite =  
**minimale Bedienrate, bei der  $P(Q > x) \leq \varepsilon$**



# REM-Approximation

---

## □ Rate Envelope Multiplexing (REM)

- Prinzip: Vergleich der momentanen Ankunftsrate  $R$  mit Bedienrate  $C$
- keine Berücksichtigung des Puffers auf Burstebene: „pufferloses“ Modell
- unabhängig von Burstgröße

## □ Abschätzung der Überschreitungswahrscheinlichkeit $P(R > C)$

- einfacher Ansatz: Approximation der Ratenverteilung durch Normalverteilung
- weitere Vereinfachung nach Guérin liefert  $P(R > C) \approx P(Q > 0)$
- konservative Abschätzung für  $P(Q > x)$

$$\rightarrow C = m \cdot \left( 1 + \sqrt{-2 \ln \varepsilon - \ln(2\pi)} \cdot \sqrt{\frac{h}{m}} \right)$$

# Fluid-Flow-Approximation

---

## □ Grundlage: AMS (Anick, Mitra, Sondhi)

- Überlagerung von  $N$  ON/OFF-Quellen mit exponentiellen Phasendauern
- Verteilung der Warteschlangenlänge  $Q$  durch Lösung eines Differentialgleichungssystems (Eigenwert- und Randwertproblem)
- Approximation: nur Berücksichtigung des dominanten Eigenwerts

## □ Bestimmung der effektiven Bandbreite: Guérin et al.

- vereinfachende Annahme:  $P(Q > 0) \approx 1 \Rightarrow P(Q > x) \approx P(Q > x | Q > 0)$

## □ Anpassung für M/Pareto-Modell

- Anpassung auf M/M-Modell durch Grenzübergang  $N \rightarrow \infty$
- Anwendung auf M/Pareto-Modell mit gleicher mittlerer Burstgröße  $b$

$$\rightarrow C = \frac{m}{1 + \frac{b}{x} \cdot \ln \varepsilon}$$

# FBM-Approximation: „Norros-Formel“

---

## □ Fractional Brownian Motion (FBM)

- kumulierter Ankunftsprozess mit Varianz  $\text{VAR}[A_t] = m \cdot a \cdot t^{2H}$
- Varianzkoeffizient  $a$  („Spitzigkeit“)

## □ Norros: Analyse eines Bediensystems mit FBM-Verkehr

- vereinfachende Annahme:  $P(Q > 0) \approx 1 \Rightarrow P(Q > x) \approx P(Q > x | Q > 0)$
- Warteschlangenlänge  $Q$  folgt näherungsweise einer Weibull-Verteilung
- effektive Bandbreite in Abhängigkeit von Varianzkoeffizient  $a$

## □ Anpassung für M/Pareto- sowie M/M-Verkehr

- Bestimmung des Varianzkoeffizienten durch Gleichsetzen von  $\text{VAR}[A_t]$  für FBM und M/Pareto bzw. M/M für  $t \rightarrow \infty$

$$\rightarrow C = m \cdot \left( 1 + \chi(H) \cdot (-2 \ln \varepsilon)^{\frac{1}{2H}} \cdot \left( \frac{x}{b} \right)^{\frac{H-1}{H}} \cdot \left( \frac{h}{m} \right)^{\frac{2H-1}{2H}} \right) \text{ für M/Pareto}$$

$$\rightarrow C = m \cdot \left( 1 - \ln \varepsilon \cdot \frac{b}{x} \right) \text{ für M/M}$$

# Kombinierte Methode

---

- Kombination von **REM**- und **FBM**-Approximation
- Berücksichtigung von **statistischem Multiplexen** und **Pufferung**

$$\begin{aligned} P(Q > x) &= P(Q > 0) \cdot P(Q > x | Q > 0) \\ &\approx \varepsilon_{REM} \cdot \varepsilon_{FBM} \end{aligned}$$

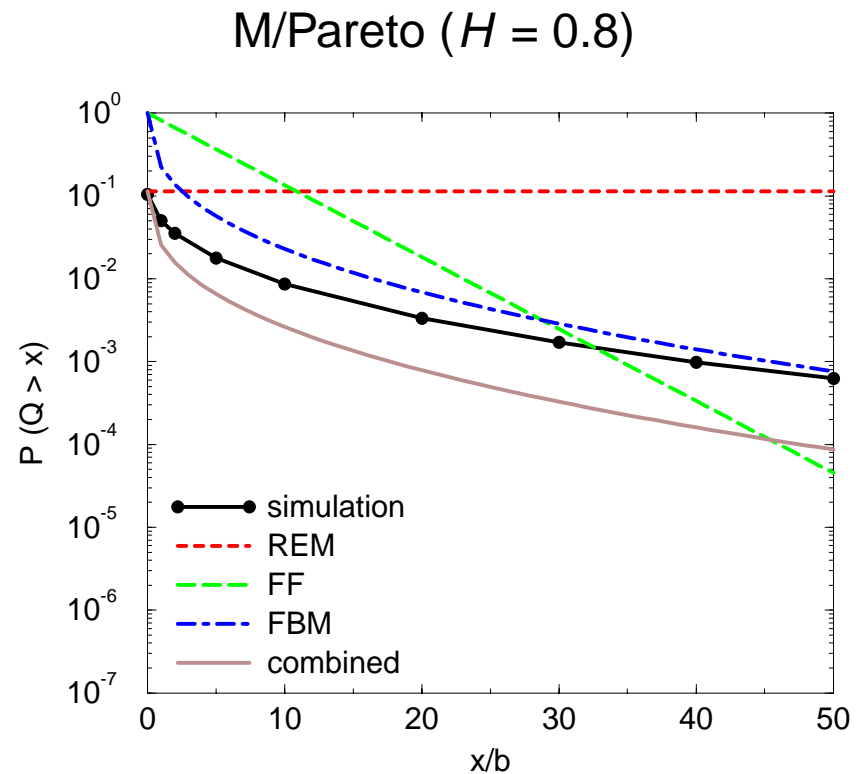
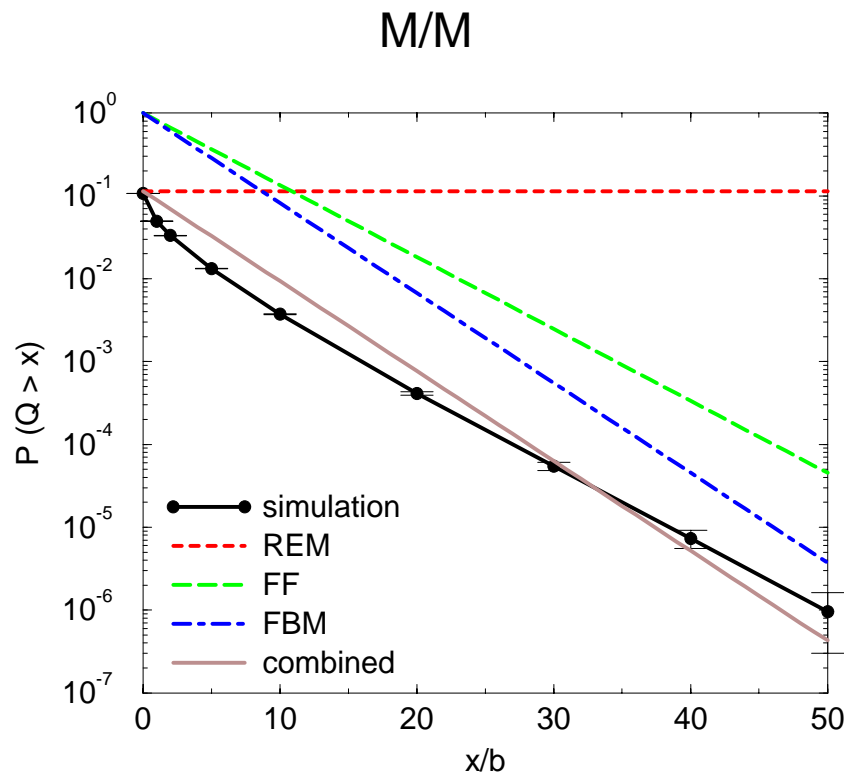
- Bestimmungsgleichung für effektive Bandbreite

$$K_1 \cdot (C - m)^2 + K_2 \cdot (C - m)^{2H} + K_3 = 0$$

- einfach numerisch lösbar (z. B. mit **Newton-Verfahren**)

# Warteschlangenlänge

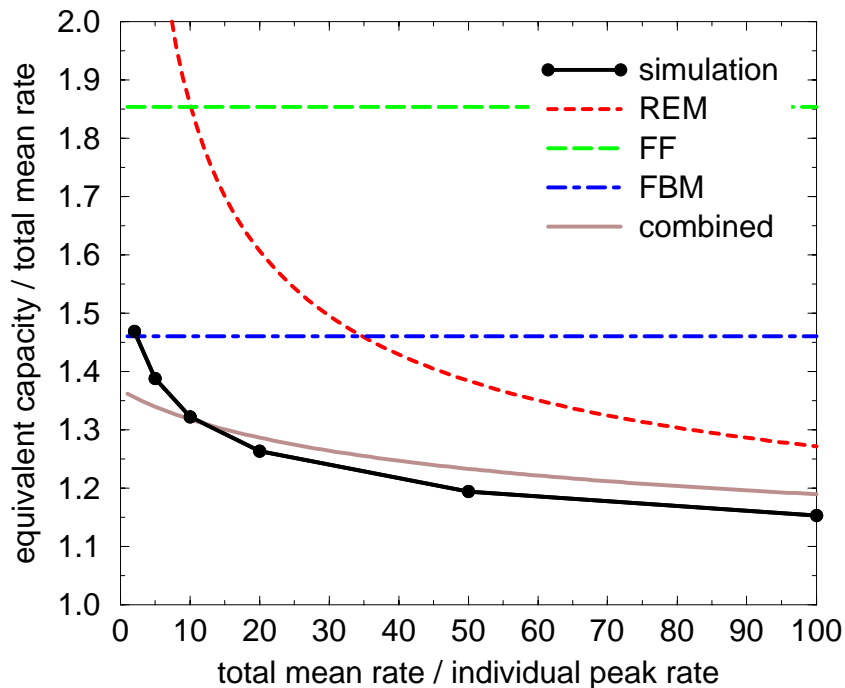
---



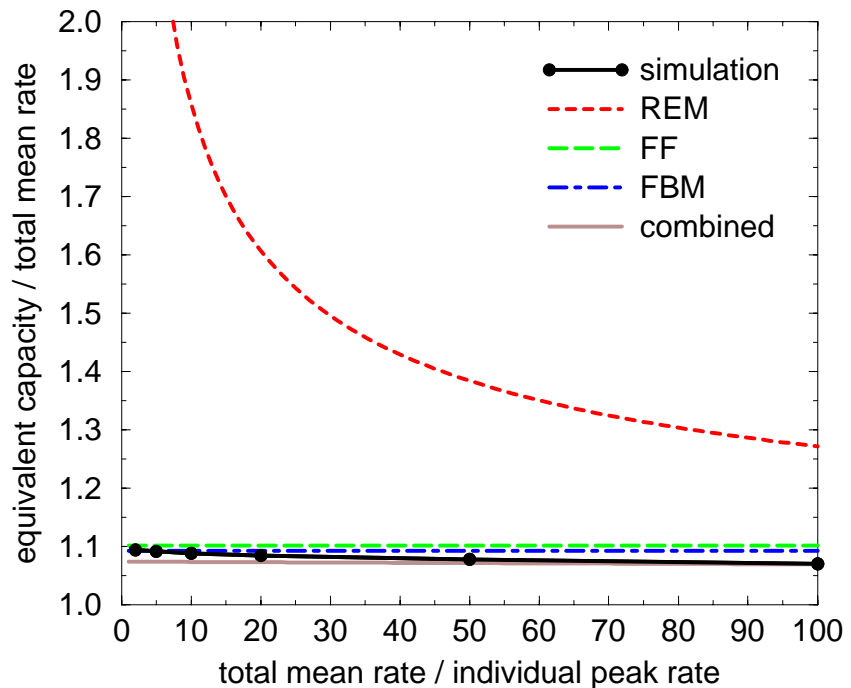
# Effektive Bandbreite: M/M

---

$x/b = 10$



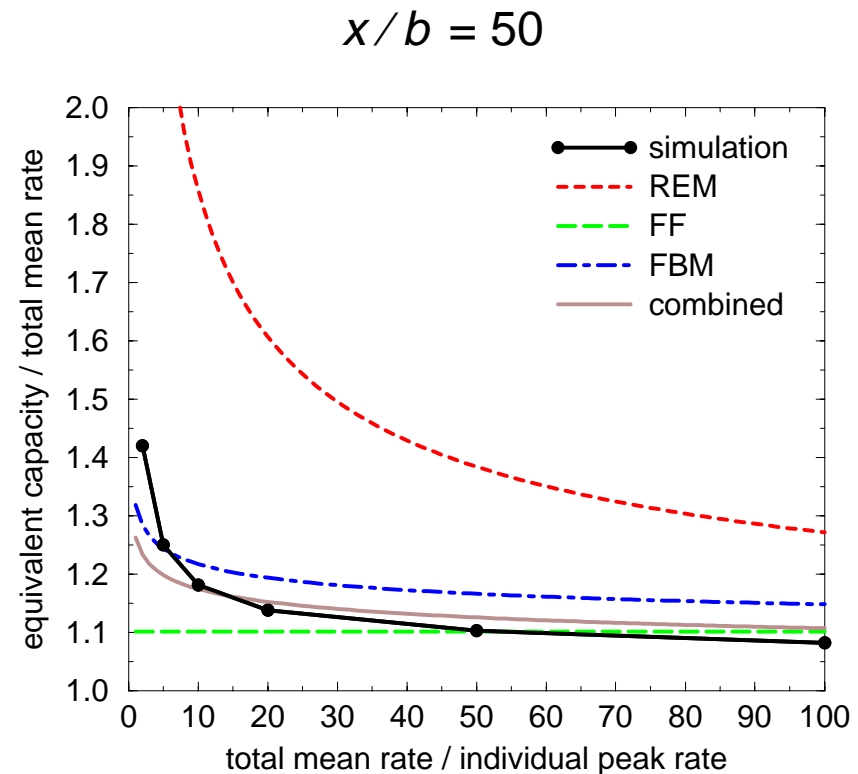
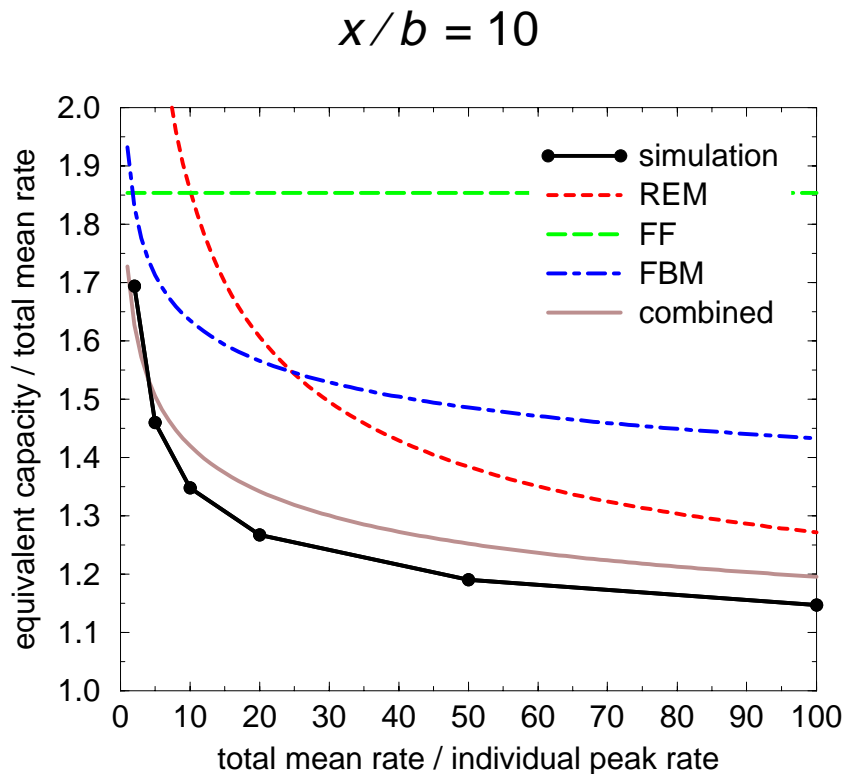
$x/b = 50$



# Effektive Bandbreite: M/Pareto ( $H = 0.6$ )

---

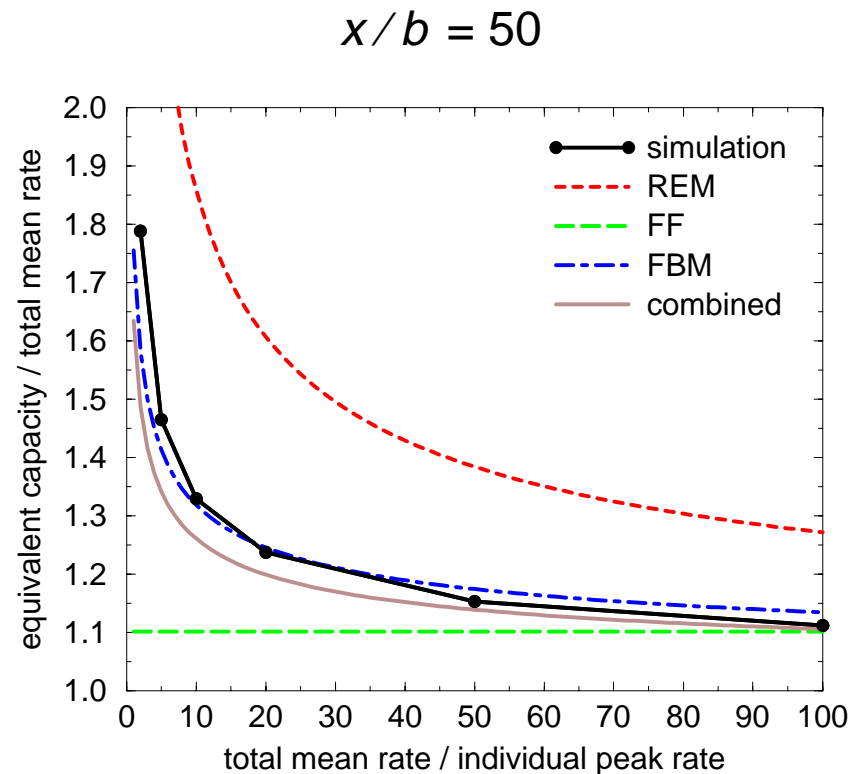
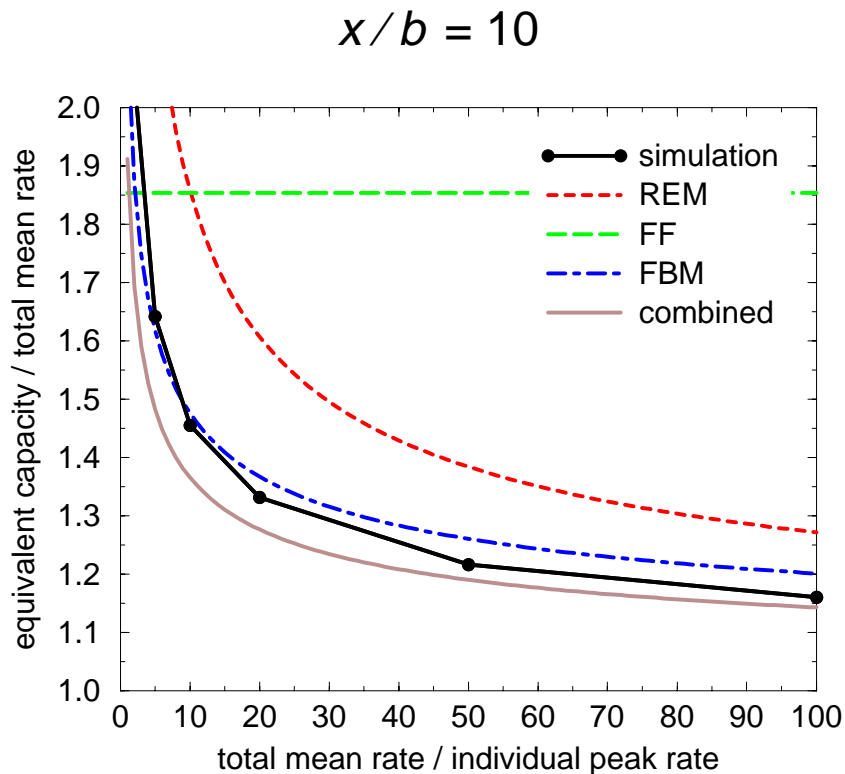
---



# Effektive Bandbreite: M/Pareto ( $H = 0.8$ )

---

---



# Zusammenfassung

---

- **Vorstellung verschiedener Methoden zur Approximation der effektiven Bandbreite**
- **Anpassung an M/Pareto-Verkehrsmodell**
- **Vergleich mit Burstebenen-Simulation**
  - **FF**: sehr ungenau in fast allen Bereichen
  - **REM**: konservativ, einigermaßen genau bei kleineren Puffern, vor allem bei starker Selbstähnlichkeit
  - **FBM**: zu konservativ bei schwacher Selbstähnlichkeit, zu optimistisch bei starker Selbstähnlichkeit und kleinem Puffer
  - **kombinierte Methode**: noch optimistischer als FBM, dadurch genauer bei schwacher Selbstähnlichkeit, aber schlechter bei starker Selbstähnlichkeit
- **FBM-Methode gut, aber nicht in allen Bereichen**
- **einfache REM-Approximation als Alternative**